

Zeitschrift: Schweizerische Bauzeitung
Herausgeber: Verlags-AG der akademischen technischen Vereine
Band: 31/32 (1898)
Heft: 20

Artikel: Albulabahn
Autor: H.
DOI: <https://doi.org/10.5169/seals-20818>

Nutzungsbedingungen

Die ETH-Bibliothek ist die Anbieterin der digitalisierten Zeitschriften auf E-Periodica. Sie besitzt keine Urheberrechte an den Zeitschriften und ist nicht verantwortlich für deren Inhalte. Die Rechte liegen in der Regel bei den Herausgebern beziehungsweise den externen Rechteinhabern. Das Veröffentlichen von Bildern in Print- und Online-Publikationen sowie auf Social Media-Kanälen oder Webseiten ist nur mit vorheriger Genehmigung der Rechteinhaber erlaubt. [Mehr erfahren](#)

Conditions d'utilisation

L'ETH Library est le fournisseur des revues numérisées. Elle ne détient aucun droit d'auteur sur les revues et n'est pas responsable de leur contenu. En règle générale, les droits sont détenus par les éditeurs ou les détenteurs de droits externes. La reproduction d'images dans des publications imprimées ou en ligne ainsi que sur des canaux de médias sociaux ou des sites web n'est autorisée qu'avec l'accord préalable des détenteurs des droits. [En savoir plus](#)

Terms of use

The ETH Library is the provider of the digitised journals. It does not own any copyrights to the journals and is not responsible for their content. The rights usually lie with the publishers or the external rights holders. Publishing images in print and online publications, as well as on social media channels or websites, is only permitted with the prior consent of the rights holders. [Find out more](#)

Download PDF: 20.02.2026

ETH-Bibliothek Zürich, E-Periodica, <https://www.e-periodica.ch>

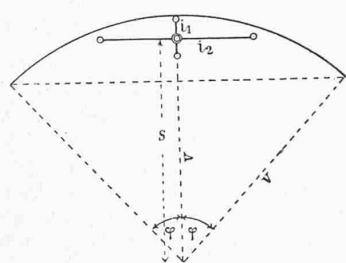
$$R_1 = \frac{P \cdot p_s \cdot m \cdot \frac{l}{w} g}{G \cdot m \cdot r} = \frac{p_s \cdot \frac{l}{w} g}{G \cdot r} \cdot P$$

wird. Noch einfacher führt die Bedingung, dass die durch P verursachte Drehung δ des Punktes O durch R_1 wieder rückgängig gemacht werden muss, zum Ausdruck von R_1 .

Die Bedingung lautet nämlich $P \frac{l}{w} g p = P p_s \frac{l}{w} g = R_1 G r$,

woraus sich für R_1 wieder der obige Wert ergibt. Für den kreisförmigen Bogen mit konstantem Trägheitsmoment möchte diese Methode der Berechnung, wenigstens für schiefe Kräfte, weitaus die einfachste sein, weil sich die Achsen der Elasticitätsellipse jedes Bogenabschnittes leicht

Fig. 3.



berechnen und ein für alle mal in einer kleinen Tabelle zusammenstellen lassen. Ist φ der halbe Centriwinkel, so ist

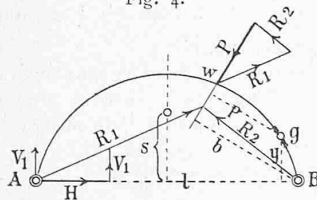
$$G = \frac{2 r \varphi}{E J}, \quad s = r \frac{\sin \varphi}{\varphi}; \quad i_1^2 = r^2 \left(\frac{1}{2} - \frac{1}{4} \frac{\sin 2 \varphi}{\varphi} \right)$$

$$i_2^2 = r^2 \left(\frac{1}{2} + \frac{1}{4} \frac{\sin 2 \varphi}{\varphi} - \frac{\sin^2 \varphi}{\varphi^2} \right). \quad (\text{Fig. 3})$$

Der Richtungssinn von R_1 findet sich aus der Bedingung, dass sowohl R_1 wie P_1 , aber im entgegengesetzten Drehungssinn, um den Punkt a drehen, dessen Lage sich immer leicht abschätzen lässt, auch wenn man ihn nicht zur Ermittlung von R_1 benutzt, sondern nach der erst erwähnten Methode mehr rechnerisch vorgeht.

* * *

Fig. 4.



Beim Bogen mit Punkt auflagern (Fig. 4) besteht die einzige Bedingung darin, dass die durch P verursachte Horizontalbewegung $b = P \frac{l}{w} g \cdot p \cdot y$

des frei gedachten Auflagers A durch die beiden Teilkräfte V_1 und H_1 des linken Stützdruckes R_1

wieder rückgängig gemacht werde. Die Horizontal-Bewegungen sind für V_1 oder $P \cdot \frac{b}{l} = P \frac{l}{l} G \cdot s \cdot \frac{l}{2} = \frac{1}{2} P \cdot G \cdot s \cdot b$ und für $H = H \cdot \Sigma g \cdot y^2 = H \cdot T_v$, wo T_v das Trägheitsmoment der g in Bezug auf die Fusspunktsehne AB bedeutet. Da nach links gerichtete Bewegungen von A einen nach innen gerichteten, als positiv zu bezeichnenden Bogeneschub bedingen, so ist $\frac{1}{2} P \cdot G \cdot s \cdot b$ positiv, so lange V_1 aufwärts gerichtet ist; P dreht für lotrechte und einwärts gerichtete Lasten links um seinen Antipol bezügl. des Stücks Bw , erzeugt also eine entgegengesetzte Horizontalbewegung von A . In diesem Fall hat also H die Differenz beider Bewegungen rückgängig zu machen, schreibt sich demnach

$$H = \frac{\frac{1}{2} G \cdot s \cdot b - \frac{l}{w} G \cdot p \cdot y}{T_v} \cdot P$$

Ist V_1 nach abwärts gerichtet, oder dreht P nach rechts um seinen Antipol herum, so ändert sich das Vorzeichen des ersten, resp. des zweiten Gliedes im Zähler.

* * *

Besitzt der Bogen ein Scheitelgelenk, während die Füsse fest eingespannt sind, so überträgt sich der Stützdruck der die äussere Last P nicht enthaltenden Bogenhälfte in demselben und belastet jede der beiden Hälften in gleicher und entgegengesetzter Richtung. Diese Belastungen haben die Aufgabe, die Enden der beiden Hälften wieder zur Berührung zu bringen, nachdem P — bei gelöst gedachtem Gelenk — das eine am andern vorbei geschoben hat. Betrachten wir zuerst die horizontalen Bewegungen der zwei von einander unabhängig gedachten Scheitelpunkte, Fig. 5.

P erzeugt eine Bewegung des zur rechten Bogenhälfte gehörenden Scheitelpunktes von

$$h_1 = P \frac{l}{w} g \cdot p \cdot y; \quad \text{jede der beiden gleich und entgegengesetzten}$$

Teilkräfte H von R eine solche von $H \frac{l}{l/2} g \cdot y^2$, beide trennen die Scheitel also in wagrechter Richtung um den Betrag $h_2 = H \frac{l}{l/2} g \cdot y^2 = H T_v$ von einander. Die beiden gleichen und entgegengesetzt gerichteten Teilkräfte V von R endlich erzeugen an beiden Scheitelpunkten Horizontalbewegungen von gleicher Grösse und gleichem Sinn, bleiben also ohne Einfluss, die oben angeschriebenen beiden wagrechten Bewegungen müssen sich ohne weiteres aufheben, woraus für H folgt

$$H = P \frac{l}{w} g \cdot p \cdot y : T_v$$

Die analoge Betrachtung führt zur Bestimmung der Teilkraft V . P erzeugt eine lotrechte Bewegung des Scheitels der rechten Bogenhälfte von $v_1 = P \frac{l}{w} g \cdot p \cdot x$; die Teilkräfte V bewirken eine Trennung der beiden Scheitelpunkte in lotrechter Richtung um $v_2 = V \frac{l}{l/2} g \cdot x^2 = V T_h$, die Teilkräfte H sind auf die lotrechte Entfernung beider Scheitel ohne Einfluss, es folgt daher aus der Gleichsetzung von v_1 und v_2

$$V = P \frac{l}{w} g \cdot p \cdot x : T_h$$

T_v und T_h bedeuten die Trägheitsmomente der g in Bezug auf die wagrechte und lotrechte Achse durch das Scheitelgelenk. Mit V und H ist $R = V^2 + H^2$ selbst nach Grösse, Richtung und Lage gegeben; R bildet den Stützdruck für die nicht belastete Bogenhälfte, denjenigen für das andere Auflager findet man durch Zusammensetzung von R mit der Last P .

Zum Schluss muss beigelegt werden, dass sich alle obigen Entwickelungen auf symmetrisch gebaute Bogen beziehen, die ja fast ausschliesslich vorkommen; die Erweiterung auf unsymmetrische Bogen ist nicht schwierig.

(Fortsetzung folgt.)

Albulabahn.

Nachdem die Grundzüge der Schmalspurbahn, welche Thusis mit St. Moriz verbinden soll, vom Verwaltungsrat der Rhätischen Bahn festgestellt sind und die Ausschreibung des Haupttunnels bereits erfolgt ist, bringen wir über dieses interessante Bahnprojekt einige vorläufige Angaben.

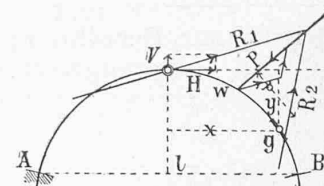
Die ganze Linie hat eine Länge von 63,2 km und ist zu 19,6 Millionen Franken veranschlagt.

Die Maximalsteigung beträgt zwischen Thusis und Filisur (km 24,5) 25%; zwischen Filisur und Bever (km 55,5) 35%.

Der Minimalradius ist 120 m.

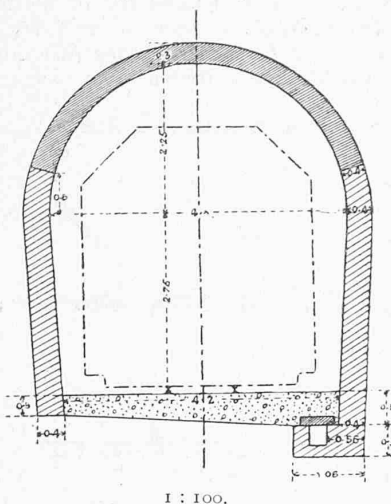
Am Ausgang des Albulatunnels erreicht die Bahn die Höhe von 1818 m ü. M.

Fig. 5.



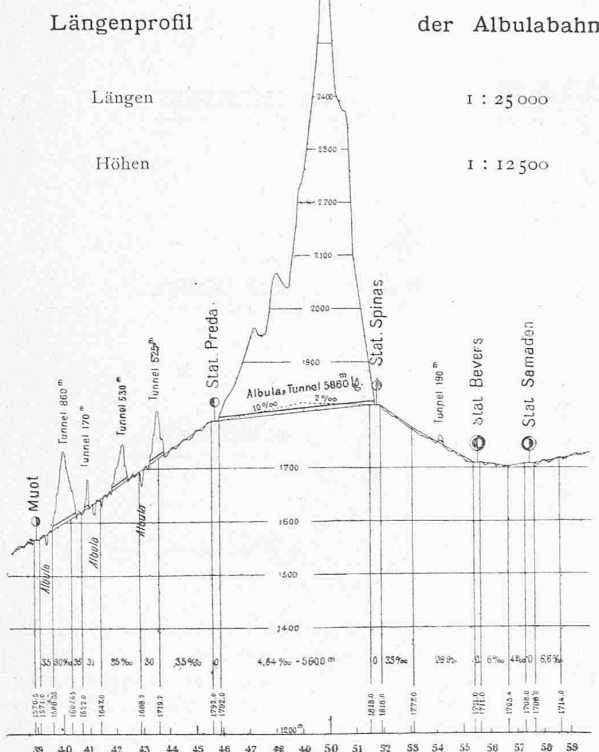
Der Haupttunnel (Fig. 2) liegt zwischen den Stationen Preda und Spinas und hat eine Länge von 5860 m, wovon nach Prof. Heim etwa 4640 m im Granit liegen, während etwa 1220 m Kalkschiefer und Dolomit durchfahren werden.

Fig. 1. Tunnelprofil.



In Figur 1 ist das Normalprofil des Albulatunnels mit leichter Felsverkleidung dargestellt; der Lichtraum misst etwa 20 m^2 , die Breite beträgt 4,5 m, die Höhe 5,0 m. Letztere ist beim Albulatunnel um 0,3 m grösser als bei den kleinen Tunneln, deren 27 mit einer Gesamtlänge von etwa 8400 m vorgesehen sind.

Fig. 2.



Als besonders schwierige Strecken, mit zahlreichen Tunnels und Viadukten, sind 8 km zwischen Thusis und Tiefenkasten, 7 km zwischen Filisur und Bergün und 10 km oberhalb Bergün hervorzuheben.

Oberhalb Bergün erhält die -- immer in der Nähe des Thalbodens verbleibende und mehrfach das Ufer

wechselnde -- Linie mittels vielfacher Kehren eine Entwicklung von 12 km, während die Thallänge nur $5\frac{1}{2}$ km beträgt.

Die hochgelegenen Bahnstrecken zwischen Bergün und Bevers sind ausserhalb der Tunnel thunlichst auf freiem Damme geführt, um Lawinen und Schneerutschen möglichst auszuweichen und die Arbeit des Schneepfluges zu erleichtern.

Da der Albulatunnel vier Jahre Bauzeit erfordert, während die übrigen Strecken in zwei Jahren vollendet werden können, ist zunächst die Lage dieses Tunnels festgelegt und es sind die ersten baulichen Einleitungen auf beiden Seiten bereits in der Weise getroffen, dass man nach der bevorstehenden Finanzierung von den bisherigen Sondierungen ohne Zeitverlust zum Vortrieb des Sohlstollens übergehen kann.

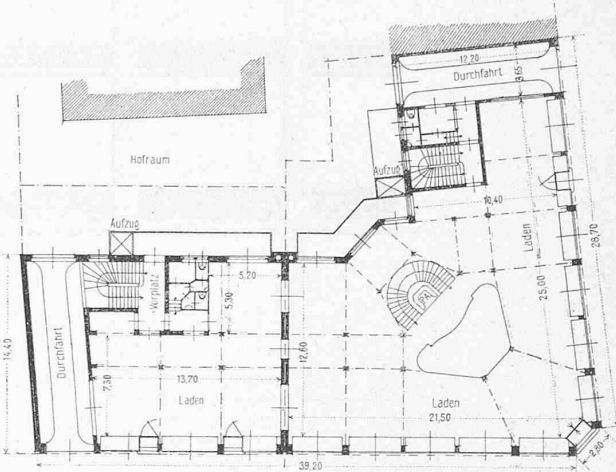
Inzwischen sind zahlreiche Ingenieure in Thätigkeit, um das Detailprojekt der Albulabahn sowohl, als der Linie Reichenau—Ilanz zu bearbeiten, wobei grösstenteils die Moser'schen Studien als Grundlage dienen.

H.

Neubau des Geschäfts- und Warenhauses der Aktiengesellschaft vorm. F. Jelmoli in Zürich I.

Architekten: H. Stadler & E. Usteri in Zürich.

Die auf dem Kontinent erst in neuester Zeit zur häufigen Verwendung gekommenen eisernen Gerippbauten können naturgemäss nur da grösste Verbretigung finden, wo die Vorteile dieser Bauart die bedeutenden Mehrkosten, die sie namentlich in der Schweiz wegen der hohen Eisenpreise verursacht, aufwiegen.



Erdgeschoss-Grundriss 1:500.

Die Vorteile dieser eisernen Gerippbauten bestehen im wesentlichen in folgendem:

1. Grösstmögliche Ausnützung der bebauten Bodenfläche, welcher Umstand namentlich bei hohen Bodenpreisen in Betracht fällt.

2. Gewinnung grosser Schauplätze gegen die Strasse zur Ausstellung der Ware, die durch keine störenden Mauerpfeiler unterbrochen wird.

3. Grosse, freie, durch keine störenden Zwischenmauern unterbrochene Innenräume.

4. Möglichkeit des Vorlegens der Spiegelscheiben an die Strassenfront, wodurch die ausgestellte Ware sofort das Auge dss Vorübergehenden anzieht.

5. Grösste Lichtfülle der Innenräume.

6. Grösstere Sicherheit bei Feuergefahr, da dem Feuer durch gänzliche Vermeidung brennbarer Stoffe jede Nahrung entzogen wird.

7. Durch das schmale, zierliche Rahmenwerk und die grossen Spiegelscheiben erhält das Gebäude das Gepräge eines modernen grossstädtischen Geschäftshauses.